

Предкатализмические двойные системы

Н.Ф. Войханская

Специальная астрофизическая обсерватория РАН, Нижний Архыз, 369167, Россия

Поступила в редакцию 27 июля 2004 г.; принята к печати 10 февраля 2005 г.

Составлен новый список предкатализмических двойных. Их характеристики и свойства описаны и сравнены с характеристиками катализмических переменных. Показано, что несмотря на идентичность многих параметров основное различие между этими двумя типами систем (акреция или ее отсутствие) обусловлено процессом эволюции и свойствами прародителей. Их эволюционные пути расходятся после стадии красного гиганта. Большинство главных компонентов предкатализмических переменных становятся экстремальными объектами горизонтальной ветви и уходят на линию охлаждения белых карликов, минуя AGB, или уходят с нее раньше (не достигнув верха). Вторичные компоненты предкатализмических переменных отличаются высокой коронально-хромосферной активностью. Это указывает на наличие значительного магнитного поля, что тоже каким-то образом влияет на свойства этих систем. Сравнение расстояний между компонентами с пределом устойчивости показало, что катализмические переменные перешли этот предел, а предкатализмические сохранили устойчивость в процессе эволюции.

Ключевые слова: тесные двойные системы, предкатализмические двойные, свойства, эволюция

PRECATACLYSMIC BINARY SYSTEMS, by N.F. Voichanskaya. A new list of precataclysmic binaries is compiled. Their characteristics and properties are described and compared to those of cataclysmic variables. It is shown that although many parameters are the same for these two types of systems, the main difference between them (accretion or no accretion) stems from the process of evolution and progenitor properties. Evolutionary tracks of the two types of systems diverge at the red-giant stage. Most of the primaries in precataclysmic variables become extreme horizontal-branch objects, which move to the white-dwarf cooling line bypassing the AGB stage, or leave the AGB at an earlier stage than cataclysmic stars (without reaching the AGB tip). Secondary components in precataclysmic variables are characterized by high coronal and chromospheric activity. This is indicative of appreciable magnetic field, which affects in some way the properties of these systems. A comparison of the component separations and the stability limit shows that cataclysmic variables have passed this limit, whereas precataclysmic variables have maintained their stability in the process of evolution.

Key words: stars: binaries – stars: cataclysmic and precataclysmic variables – stars: evolution

1. Введение

Большой интерес для теории эволюции представляют двойные системы, компоненты которых находятся на различающихся стадиях эволюции. В своем развитии они должны были пройти фазу общей оболочки (СЕ-фазу). Примером таких систем являются предкатализмические двойные (PCB). Они состоят из белого карлика или субкарлика и маломассивной звезды главной последовательности позднего спектрального класса. В подавляющем числе случаев это карлики класса M, но воз-

можны G и K. По аналогии с катализмическими переменными (CV) белый карлик будем называть главным компонентом, а красный — вторичным. Так как в этих системах нет акреционных источников блеска, то это слабые, трудные для обнаружения объекты. Тем не менее в настоящее время группа быстро пополняется. Последний обзор свойств PCB был сделан почти двадцать лет назад (Риттер, 1986). Назрела необходимость повторного рассмотрения и сравнения их со свойствами CV.

Хотя компоненты PCB находятся на тесной орбите, переноса массы в виде акреционного потока

между ними нет. Подобные системы являются результатом эволюции первоначально широкой пары (с периодом до нескольких лет) в общей оболочке. СЕ-фаза начинается, когда более массивный компонент широкой пары достигает стадии красного гиганта (RG) или асимптотической ветви гигантов (AGB) и заполняет свою полость Роша. Так как в это время звезда имеет глубокую конвективную оболочку, то в ответ на потерю массы звезда будет расширяться, и потеря массы становится динамическим процессом. Аккремирующая звезда (вторичный компонент) имеет малую массу и, следовательно, большое время тепловой релаксации. С началом процесса аккремции она теряет тепловую устойчивость и дальнейшее зависит от ее массы. Если звезда имеет глубокую лучистую оболочку ($M_2 > 0.3M_{\odot}$), то ее радиус увеличится и станет много больше равновесного. Начнется потеря массы. Если же у нее конвективная оболочка ($M_2 \leq 0.3M_{\odot}$), то она расширяется медленно, а может даже сжаться. Потери массы не происходит.

Итак, общая оболочка возникает, когда главный (более массивный) компонент широкой пары начинает катастрофически терять массу, и вторичный компонент погружается в нее.

Оказавшись внутри оболочки, обе звезды испытывают гравитационное и гидродинамическое торможение от взаимодействия с окружающим их веществом и будут по спирали приближаться друг к другу. Диссиляция орбитальной энергии (тормозная светимость) будет возрастать по мере сближения звезд и в конце концов может привести к сбросу оболочки. После окончания СЕ-фазы пара становится менее массивной и более тесной.

Во время катастрофической потери массы главным компонентом возможна ситуация, когда вещество будет уходить из системы через внешнюю точку Лагранжа L_2 . Это приведет к очень быстрой потере энергии системой и очень быстро сжатию орбиты.

Итак, СЕ-фаза заканчивается или сбросом оболочки — будущей планетарной туманности, в результате чего образуется маломассивная тесная двойная система, или слиянием компонентов. Так как возникли переменные CV и PCB, то мы знаем, что осуществился первый вариант.

Список PCB и некоторые их характеристики приводятся в табл.1 (приведена в конце статьи).

2. Фотометрические свойства PCB

Они изучены в основном в оптике. Только V471 Tau наблюдалась во многих диапазонах. Так как PCB являются разделенными двойными системами, то у них отсутствуют явления, обусловленные аккремцией. В частности, ни у одной из них не

наблюдаются быстрых флюктуаций блеска, характерных для всех CV; на их орбитальных кривых блеска нет горбов от горячего пятна, возникающего в месте столкновения струи с аккреционным диском; отсутствуют квазипериодические вспышки. Переменность блеска PCB имеет другие причины: пятнистость поверхности красного карлика и его хромосферная активность, пульсации белого карлика, облучение одного компонента другим.

У некоторых PCB наблюдается долговременная переменность блеска (например у V651 Mon, UU Sge, BD+26°2405, BD+50°2869 BD-12°1172, MT Ser). Все эти системы являются центральными звездами планетарных туманностей, и переменность блеска обусловлена движением облаков пыли и газа в туманности. Следует еще отметить, что большинство из них видны под малыми углами (Войханская, 2002), и это дополнительный аргумент в пользу предположения, что причиной переменности являются процессы в окружающей туманности. Другой причиной долговременной переменности блеска могут быть изменения активности красного карлика, которые подобны циклам солнечной активности. У V471 Tau обнаружены циклы продолжительностью 5 ± 0.5 лет (Ибаноглу и др., 1994). По-видимому, причиной переменности в подобных случаях является изменение площади поверхности, занятой пятнами.

Характерной чертой орбитальных кривых блеска большинства PCB является четко выраженный эффект отражения. Он состоит в том, что сторона холодного компонента, обращенная к белому карлику, облучается им, поглощает его ультрафиолетовое излучение и переизлучает энергию в более длинноволновой области. Из-за этого ее температура и светимость больше, чем на неосвещенной противоположной стороне.

Кроме эффекта отражения причиной изменения блеска может быть нестационарность вторичного компонента, т.е. его хромосферная активность. Подобное наблюдается, например, у FF Aqr, BD-22°3467 и вышеупомянутой V471 Tau. Хромосферная активность красного карлика, кроме изменения площади пятен, проявляется также в изменениях силы эмиссионных линий, в частности, H_{α} , которые не коррелируют с фазой орбитального периода (Case I, HZ9, V471 Tau и др.). Эмиссия в линии H_{α} не исчезает даже на необлученной стороне вторичного компонента.

У некоторых PCB наблюдались вспышки типа UV Cet. Например, у системы Case I по архивным пластинкам Шугаров (1984) обнаружил две вспышки в B-полосе амплитудой $0^m6 - 0^m9$, а Блич и др. (2000, 2002) наблюдали вспышки в R- и V-полосах. У RX 2130.6+4710 вспышки наблюдались неоднократно (Макстед и др., 2004) вне затмения,

что указывает на сильную магнитную активность М-карлика.

V471 Tau — одна из наиболее подробно изученных систем, наблюдавшаяся в широком интервале длин волн от рентгеновского до радиодиапазона. Кривые блеска ее во всех областях переменны, и эта переменность, несомненно, связана со вторичным компонентом. В пользу этого также говорят обнаруженные Биверсом и др. (1979) вспышки в U-полосе во время затмения белого карлика. Янг и др. (1991) отмечают, что сразу после вспышек появляются сильносмещенные компоненты H_{α} , которые возникают около холодного компонента. По-видимому, порождающая их материя была выброшена во время вспышки. Об обнаружении корональных выбросов массы у K-компонента системы сообщили Бонд и др. (2001). Особенно ярко выражена переменность V471 Tau в радиодиапазоне (медленная переменность и вспышки). Все данные указывают на взаимодействие компонентов системы. Но это не перетекание вещества с аккрецией, а взаимодействие магнитосфер, связанное с активностью вторичного компонента (Петerson и др., 1993; Лим и др., 1996). Такие крупномасштабные магнитные структуры могут переносить массу, которая полностью или частично будет аккрецироваться белым карликом.

В работе Блич и др. (2002) изучались проявления хромосферной активности у двойных систем, прошедших фазу СЕ. Авторы отмечают, что вторичные компоненты в этих системах, имеющие, как правило, конвективные оболочки или глубокие конвективные зоны, способны генерировать магнитное поле динамо-эффектом. Индикатором наличия магнитного поля и магнитной активности позднего компонента является присутствие в его спектре линии $D_3 HeI(\lambda 5876\text{\AA})$. Эта линия присутствует в спектрах многих РСВ.

Имеется небольшая группа РСВ, главным компонентом в которых является горячий субкарлик sdB-типа. Такие субкарлики часто оказываются пульсаторами. В частности, у PG 1336-018 пульсации наблюдаются все время, кроме главного затмения, когда горячий компонент не виден. Периоды пульсаций 184 и 141 с, амплитуды — 0^m01 и 0^m005 (Килкенни и др., 1998). Возможно, что временами пульсации наблюдаются также у BE UMa.

3. Спектральные характеристики РСВ

Общий вид спектра зависит от спектральных классов обоих компонентов и от соотношения их блеска. В коротковолновой области преобладает излучение главного компонента. Там наблюдаются аб-

сорбционные линии водорода, как правило, с узкой центральной эмиссией, HeI и $HeII$ тоже часто с эмиссией в центре, линии элементов C, N, O, Si в разных стадиях ионизации от III до V, иногда линии высокоионизованного Fe. Например, в спектре BD+50°2869 присутствуют линии $FeVII$, а в спектре HD 49798 — линии FeV . Длинноволновая область спектра по большей части формируется красным компонентом. Здесь присутствуют линии водорода, многочисленные абсорбционные линии нейтральных и однократно ионизованных металлов (Fe, Ti, Ni, V, Mg, Co, Na, Ca, Y, La), полосы поглощения молекул TiO (чаще всего), CaH , FeH . Часто видны эмиссионные линии элементов C, N, O от II до V стадии ионизации, $CaII$, HeI и $HeII$, эмиссия в центре водородных линий, а также эмиссионные линии металлов в разной степени ионизации.

Спектр конкретной системы зависит не только от соотношения блеска компонентов, но также от расстояния и разности температур между ними, хромосферной активности вторичного компонента. Как отмечалось ранее, у многих РСВ сильно выражен эффект облучения. Вследствие этого в спектре вторичного компонента появляются разнообразные эмиссионные линии, не соответствующие его спектральному классу.

Кроме эффекта облучения, причиной появления эмиссионных линий может быть хромосферная активность вторичного компонента. Различить эти эффекты довольно просто: при облучении сила эмиссий меняется с фазой орбитального периода, достигая максимума в верхнем соединении красного карлика, когда к наблюдателю обращена его перегретая сторона. При хромосферной активности сила эмиссий не меняется с фазой, но может меняться со временем. Примеры ярко выраженной активности можно наблюдать у FF Aqr, Case I, HZ9, BD+26°2405, RE 1629+780, PG 1026+002, BPM 71214, EC 13471-1258. У последней наблюдалась даже вспышка в H_{α} (Кафка и др., 2002). У некоторых систем проявляется и хромосферная активность вторичного компонента и эффект его облучения (F24, BE UMa, V471 Tau, UU Sge, V477 Lyr, BD-22°3467, RE 2013+400, RE 1016-053, GD 245, FF Aqr, PG 1026+002, BPM 71214).

В 18-ти случаях из 50-ти (36%) вторичный компонент является активным красным карликом. Если же принимать во внимание только те системы, для которых что-то известно о вторичном компоненте, то эта доля возрастет до 56%. Следовательно, можно утверждать, что не менее чем у половины РСВ-систем вторичный компонент представляется собой хромосферно-активный красный карлик.

В спектрах некоторых РСВ заметны следы око-

лозвездного вещества. Возможно, что это проявление остатков СЕ или начала аккреции. Например, у F24 временами наблюдается широкая раздвоенная эмиссия H_{α} (Веннес, Торстенсен, 1994). Центральное обращение слишком велико, поэтому не может возникнуть в результате поглощения в атмосфере. В ультрафиолетовом спектре этой же системы у линий CIV, SiIV, NV наблюдается компонент, соответствующий скорости $\sim 1 \text{ км/с}$. Он возникает внутри системы в газе, возбуждаемом белым карликом. Что-то вроде стремгреновской зоны (Дюпре, Раймонд, 1982). У системы EC 11575-1845 в некоторых фазах водородные линии раздвоены, взаимное положение эмиссии и абсорбции меняется (Экстер и др., 2005). Вокруг системы BE UMa обнаружены остатки туманности, которая видна в линиях H_{α} и $\lambda 5007\text{\AA}$ [OIII] (Либерт и др., 1995; Бонд, 1999). В ее спектре временами появляется раздвоенная H_{α} с расстоянием между пиками 140 км/с (Крэмптон и др., 1983). Торстенсен и др. (1996) по форме профилей линий $\lambda 1550\text{\AA}$ CIV и $\lambda 1640\text{\AA}$ HeII в спектре RE 1016-053 предположили существование околозвездной материи в системе. В спектре RE 0720-318 у этих же линий имеется компонент, смещенный от ядра основной линии на $+50 \text{ км/с}$ (Добби и др., 1999). Авторы считают, что эти компоненты возникают в межзвездных облаках. Однако Берли и др. (1997) и Дьюрис и др. (1997) утверждают, что это проявление остатков СЕ, возможен также небольшой перенос массы.

У многих PCB-систем имеются признаки выброса вещества обоими компонентами. V651 Mon беспорядочно меняет блеск из-за того, что субкарлик sdO временами выбрасывает вещество (Аkker, Ясниевич, 1986). В ультрафиолетовом спектре системы HD 49798 линии NV имеют профиль типа PCyg. При этом абсорбция так сильна, что указывает на отток материи $\dot{M} \simeq 10^{-9.3} M_{\odot}/\text{год}$ со скоростью 1350 км/с, что много больше скорости убегания (Хейман и др., 1981). В системе V471 Tau красный карлик активно теряет вещество в виде холодного ветра. В результате этого у многих абсорбционных линий временами появляется смещенный компонент. Смещение сравнимо, а иногда больше скорости убегания. Потеря массы составляет при этом $\dot{M} \geq 2 \cdot 10^{-11} M_{\odot}/\text{год}$ (Бравейлер, Сион, 1986; Маллан и др., 1989). Кроме ветра, Янг и др. (1991) обнаружили вещество вокруг красного компонента, которое существует, по-видимому, как околозвездный диск. Это вещество проявляется смещениями эмиссионными компонентами линии H_{α} . Они сохраняются несколько дней и затем исчезают. Белый карлик в V471 Tau аккрецирует лишь небольшую часть вещества, теряемого вторичным компонентом, $\sim 4 \cdot 10^{-18} M_{\odot}/\text{год}$ (Сион и

др., 1998).

Можно привести еще немало примеров, косвенно указывающих на то, что PCB-системы содержат материю, оставшуюся от СЕ-фазы или теряемую компонентами системы.

4. Главные компоненты PCB

В табл.1 приведена 51 система, из них 20 имеют главным компонентом субкарлики: sdO (12 систем), sdB (6 систем) и sdOB (2 системы), 26 систем содержат белые карлики, причем 6 из них горячие — типа DAO. 12 из 14 центров планетарных туманностей являются звездами типа O (sdO или O_f), одна sdOB и одна DAO. Особняком стоят V664 Cas, BEUMa и VWРух. Они окружены туманностями, но имеют эмиссионные спектры. К обсуждению этих систем мы вернемся при сравнении PCB и CV.

Понять многие особенности главных компонентов может помочь рассмотрение их эволюции. Более массивный компонент широкой пары заполняет свою полость Роша после достижения стадии красного гиганта (RG) или асимптотической ветви гигантов (AGB). В результате образуется общая оболочка (СЕ). В первом случае, как показали Бонд и Ливио (1990), вероятно слияние ядра RG со вторичным компонентом, так как выбрасываемая материя будет концентрироваться в основном в экваториальной плоскости. Существуют, однако, обстоятельства и процессы, которые могут воспрепятствовать слиянию, например, большая масса вторичного компонента, локальные выбросы вещества с большой скоростью, эффективная передача энергии в оболочку, большой наклон оси вращения главного компонента к плоскости орбиты и др. Если СЕ будет сброшена, и вновь образовавшаяся система всплынет, то ее разделение и период будут значительно уменьшены.

Во втором случае, когда образование СЕ происходит на стадии AGB, слияние также вероятно, так как выброс массы хотя и происходит симметрично, но ее количество значительно больше, чем на стадии RGB. Разделение всплывшей из СЕ системы и ее период будут также значительно уменьшены.

Вопрос о том, когда сбрасывается СЕ, не всегда может быть решен однозначно. Проведенное нами исследование форм и параметров планетарных туманностей, в центре которых находится тесная двойная система типа PCB, привело к заключению, что, вероятнее всего, это происходило на стадии RG (Войханская, 2002). Формирование и эволюцию двойных ядер планетарных туманностей рассмотрели Ибен и Титуков (1993). Они продемонстрировали большое разнообразие вариантов

еволюции в зависимости от начальных условий. В частности, они показали, что горячий главный компонент может сохранять высокую светимость намного дольше, чем видна планетарная туманность, в некоторых случаях до 10^8 лет.

После сброса СЕ главный компонент отделен от своей полости Роша и эволюционирует как одиночная звезда. На вершине RGB в его ядре происходит гелиевая вспышка — начало горения гелия в ядре, после чего он перемещается на горизонтальную ветвь (НВ) диаграммы Герцшпринга–Рассела (Н–Р). Где именно на НВ окажется звезда — зависит от количества потеряной массы на стадии RG. Дальнейшая эволюция от НВ нулевого возраста (ZAHB) до выхода на кривую охлаждения белых карликов зависит от многих параметров, но ключевой среди них — масса оболочки. Именно она определяет свойства звезды с горящим гелиевым ядром. Дорман и др. (1993) рассчитали большое количество моделей, описывающих эволюцию от ZAHB до белого карлика и учитывавших многие параметры. Очень упрощенно ситуацию можно охарактеризовать так: более массивные звезды, сохранившие достаточно мощную оболочку, будут эволюционировать до верха AGB, непрерывно теряя вещества, пройдут стадию тепловых пульсаций и затем при почти постоянной высокой светимости ($\lg(L/L_\odot) \geq 3.5$) дойдут до линии охлаждения белых карликов. Где-то в начале пост-AGB-трека они пройдут фазу общей оболочки, сбросят ее и образуют планетарную туманность. Звезды средних масс проэволюционируют до AGB, но уйдут с нее раньше. Это объекты ранней пост-AGB последовательности (P-EAGB). И наконец, маломассивные звезды с пренебрежимо малой оболочкой проэволюционируют сразу в белые карлики. Это объекты AGB-manque, т.е. несостоявшиеся AGB.

Объекты P-EAGB и AGB-manque называются экстремальными объектами горизонтальной ветви (ЕНВ). Они имеют высокую температуру и поэтому являются источниками ультрафиолета и мягкого рентгена. Кроме того, если в процессе эволюции у объектов P-EAGB и AGB-manque разовьется углеродно-кислородное ядро массой $0.56\text{--}0.61M_\odot$ и выше, то над ним загорится основание гелиевой оболочки. Такие объекты становятся яркими источниками мягкого рентгена. Все это объясняет существование большого количества горячих субкарликов левее главной последовательности на диаграмме H–R. Макстед и др. (2001) показали, что доля двойных систем на ЕНВ велика и составляет $\sim 70\%$. Основной вывод из их работы: именно эволюция двойных систем является фундаментальным процессом, который приводит к образованию ЕНВ-звезд.

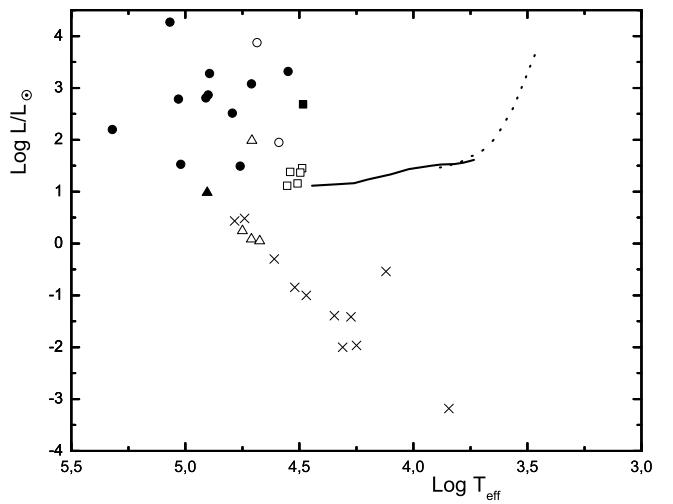


Рис. 1: Диаграмма светимость-температура для главных компонентов PCB (круги — sdO , квадратики — sdB , треугольники — DAO , крестики — DA). Сплошная линия — ZAHB, штриховая — AGB из работы Дормана и др. (1993). Заполненными значками обозначены центры планетарных туманностей.

На рис.1 показано расположение главных компонентов PCB на диаграмме светимость–эффективная температура. Там же указано среднее положение горизонтальной ветви нулевого возраста (сплошная линия) и AGB (штриховая линия) из работы Дормана и др. (1993). Заполненными значками отмечены центральные звезды планетарных туманностей. Видно, что в среднем они ярче объектов, туманности вокруг которых уже рассеялись. Это естественно объясняется их меньшим возрастом. Хорошо заметна линия охлаждения белых карликов. Обращает на себя внимание то, что почти все объекты расположены в области ЕНВ и далеко от AGB. Возможное объяснение этому в том, что во время СЕ-фазы на стадии AGB более вероятно слияние компонентов системы. О такой возможности говорят Ибен и Тутуков (1993). А основная масса PCB, пройдя фазу СЕ на стадии RG, становится экстремальными объектами НВ и эволюционирует как AGB-manque или P-EAGB. В пользу этого говорит малая масса главных компонентов в PCB и то, что многие PCB оказались заметными источниками ультрафиолета и мягкого рентгена, когда соответствующие наблюдения проводились. Тем не менее часть объектов высокой светимости, $\lg(L/L_\odot) \geq 3$, вероятно, эволюционировала до верха AGB.

Сравнение с одиночными белыми карликами показало, что в большинстве случаев они похожи, т. е. на эволюционных диаграммах их положения близки. Однако имеется большая группа PCB, главные компоненты которых характеризуются малой величиной $\log g$. На рис.1 они расположены в верхней части диаграммы и еще не дошли до линии охлаждения, а некоторые находятся на EZAHB. Все они являются субкарликами О или В. Объекты с высокой температурой $T_{eff} > 60000 K$ оказались центральными звездами планетарных туманностей, а с $T_{eff} \leq 50000 K$ являются, по-видимому, гелиевыми ядрами с горячей водородной оболочкой. Соответственно их радиусы одни из самых больших. Сравнение распределения масс одиночных белых карликов в различных выборках (Берджерон и др., 1992) с распределением масс белых карликов в PCB показало их похожесть: максимум распределения приходится на область $0.5\text{--}0.6 M_{\odot}$.

Для некоторых PCB получены кривые лучевых скоростей обоих компонентов. Оказалось, что их систематические скорости (γ -скорости) всегда различны. Обычно это объясняется гравитационным красным смещением излучения от белого карлика. Если это так, то по разнице $\Delta\gamma = \gamma_1 - \gamma_2$ можно вычислить гравитационный потенциал белого карлика и напрямую оценить его массу и радиус. Величины $\log g$ взяты из табл.1. Полученные оценки подтверждают результат из уже упоминавшейся работы Берджерона и др. (1992), что массы и радиусы, определенные спектроскопически (по моделям) и по гравитационному красному смещению, хорошо согласуются между собой. Оказалось, однако, что метод гравитационных красных смещений применим не всегда. Для трех систем — центров планетарных туманностей (V477 Lyr, UU Sge, KV Vel) — этот метод дал нереальные массы, а иногда их нельзя вычислить, так как $\Delta\gamma < 0$. Такая же ситуация для систем BPM 6502 (нереально большая масса), RG 1224+309 (нереально малая масса) и EC 11575-1845 ($\Delta\gamma < 0$). Кроме того, у некоторых систем обнаружилась переменность величины $\Delta\gamma$, уверенно превышающая указанные ошибки измерений (HZ9, GD448, RE 1016-053, RE 0720-318, V 664 Cas). Выяснилось, что во всех случаях изменения $\Delta\gamma$ менялась скорость вторичного компонента γ_2 , а изменения γ_1 были в пределах ошибок. Это указывает на существование каких-то движений вещества, влияющих на величину лучевой скорости вторичного компонента. Скорее всего, это движения, обусловленные его хромосферно-корональной активностью.

По наблюдениям в ультрафиолете и мягкому рентгене количество белых карликов оказалось примерно на порядок меньше, чем ожидалось.

Причиной этого является дополнительная непрозрачность, которую создают гелий и тяжелые элементы, присутствующие в атмосферах в очень небольших количествах. Изучение химического состава атмосфер одиночных белых карликов типа DA (Барсту и др., 2003) показало, что при $T_{eff} > 50000 K$ тяжелые элементы присутствуют всегда. При $T_{eff} \leq 50000 K$ наблюдается раздвоение на звезды с чисто водородной оболочкой и звезды с обнаруженным количеством тяжелых элементов. К сожалению, данных о химсоставе главных компонентов PCB очень немного и сделать полноценное сравнение с одиночными белыми карликами трудно. У системы F24 с нормальным белым карликом типа DA во всех случаях величины [X/H] были такие же, как у одиночных звезд (Уэсемейл и др., 1984; Веннес и др., 1992, 2000; Барсту и др., 2003). У четырех систем (RE J0720-318, RE J1016-053, REJ2013+400, BD-22°3467) главным компонентом являются карлики типа DAO. В их атмосферах наблюдается повышенное содержание углерода, а у BD-22°3467 повышенено также содержание элементов O, Si, Fe, Ni по сравнению с одиночными белыми карликами (Добби и др., 1999; Торстенсен и др., 1994; Хералд и Бианши, 2002). Наконец, у системы UX CVn главный компонент — субкарлик sdB и в его атмосфере повышенное содержание C и O (Шиманский, 2002).

Таким образом, можно предположить, что химсостав атмосфер главных компонентов PCB может отличаться большим разнообразием в зависимости от их эволюционного состояния. Более поздние белые карлики типа DA, вероятно, будут похожи на одиночные звезды.

Как известно, элементы тяжелее гелия начинают синтезироваться после полного выгорания водорода в ядре. При этом в маломассивных звездах ($M \leq 10M_{\odot}$) гелий превращается главным образом в углерод. Избыток его в атмосферах 5-ти из 6-ти исследованных главных компонентов PCB является дополнительным аргументом в пользу утверждения, что большинство из них являются экстремальными объектами горизонтальной ветви.

Вопрос о способах попадания тяжелых элементов в атмосферу и поддержания в ней, несмотря на активную дискуссию, пока не ясен. В работе Барсту и др. (2003) доказывается, что таким механизмом может быть радиативная левитация. Расчеты Веннеса и др. (1988), напротив, показывают, что левитация не может поддержать в атмосфере даже гелий в нужном количестве. Вместо нее предлагаются диффузия. Кроме того, возможна акреция из межзвездной среды, а в случае двойных систем — акреция слабого звездного ветра от вторично-го компонента или остатков выброшенной ранее

материи. Еще одну возможность указали Лим и др. (1996): крупномасштабная магнитная структура красного карлика может переносить массу, которая полностью или частично аккрецируется белым карликом. Возможно слабое истечение вещества (Берджерон и др., 1994) с поверхности белого карлика, что может объяснять, в частности, повышенное содержание гелия в атмосфере и его равномерное распределение по высоте. В пользу истечения говорит обнаружение абсорбционных линий FeVII в спектрах некоторых ядер планетарных туманностей, горячих субкарликов и вырожденных объектов (Файбелман и Бравейлер, 1990). Они сопровождаются сильными линиями Si III λ 1206 и Ni λ 1200 (триплет). Лучевые скорости SiIII, NI и FeVII сильно коррелируют, а в некоторых случаях линии SiIII и NI имеют профиль типа Р Cyg. Из PCB линии FeVII обнаружены у KV Vel и BD+50°2869. Очевидно, что в разных случаях действуют разные механизмы появления в атмосфере тяжелых элементов или их комбинация.

В заключение можно сказать, что главные компоненты PCB, по-видимому, представляют собой довольно однородную группу объектов на разной стадии эволюции: одни уже вышли на линию охлаждения белых карликов и движутся вниз HR-диаграммы, другие еще не дошли до этой линии. Это может частично объяснить разницу их свойств.

5. Вторичные компоненты

Точный спектральный класс вторичного компонента известен примерно у половины PCB. В подавляющем числе случаев — это M-карлики. Специальный поиск пар WD–M-карлик, предпринятый по результатам слоановского (SDSS) обзора неба, позволил составить выборку из 109 пар (Рэймонд и др., 2003). Предварительное изучение показало, что большинство вторичных компонентов имеет спектральный класс M3–M5 с максимумом на M4. Этот результат подтверждается данными табл.1.

Ранее, при описании фотометрических и спектральных свойств PCB, отмечалось, что вторичные компоненты многих систем отличаются повышенной активностью. Она проявляется во спышках блеска и других явлениях, указывающих на хромосферную и корональную активность: эмиссионных линиях, выбросе вещества, пятнах на поверхности (Блич и др., 2002). Активность может быть как собственная, так и спровоцированная облучением от горячего главного компонента. Если вторичный компонент достаточно позднего спектрального класса и низкой светимости, то поток жесткого излучения от главного компонента мо-

жет заметно повлиять на его блеск и спектр. Признаками облучения в двойной системе являются синхронные изменения блеска и интенсивности некоторых спектральных линий, а также изменение спектра и цвета облучаемой звезды с изменением фазы орбитального периода. Кроме того, потемнение к краю будет сильнее, чем у обычных звезд. Все эти признаки наблюдаются у PCB.

Процесс облучения атмосферы нормальной звезды жестким излучением рассмотрен Баско и Суняевым (1973), Баско и др. (1974), Сахибулиным и Шимановским (1997). В первых двух работах показано, что результат облучения зависит от глубины проникновения жесткого излучения в атмосферу нормальной звезды, т. е. от энергии квантов. В нашем случае энергия квантов невелика (ультрафиолет и мягкий рентген) и процесс их поглощения будет очень эффективен. Это приведет к изменениям в линейчатом спектре (появляются эмиссии Не и тяжелых элементов), а изменения блеска перегретого бока будут невелики. В третьей работе рассмотрены изменения линейчатого спектра с применением метода моделей атмосфер. Ее результаты не противоречат первым двум и позволили определить параметры облучаемой звезды. Избыток блеска перегретой стороны вторичного компонента должен зависеть от величины $T_1^4 R_2^2 / a^2$, где T_1 — эффективная температура горячего компонента, R_2 — радиус вторичного компонента, a — расстояние между ними. Действительно, положительная корреляция между этими величинами существует, но коэффициент корреляции мал, что отражает разнообразие условий в конкретных системах.

Одним из проявлений собственной активности красного карлика является эмиссия в линиях и континууме от горячего газа в хромосфере и короне. Количественно активность характеризуется величинами L_α / L_{bol} и L_x / L_{bol} , где L_α — светимость в линии H_α , L_x — в рентгене. Для одиночных активных dM_e -звезд $L_x / L_{bol} \simeq 1-3 \cdot 10^{-3}$. Для Солнца, даже на пике активности, это отношение не более 10^{-5} . Величина $L_\alpha / L_{bol} \simeq 10^{-4}$ для dM_e -звезд, что на 2–3 порядка больше, чем для Солнца. Таким образом, dM_e -звезды намного эффективнее прогревают свои хромосфера и короны до температур выше фотосферных, чем обычные красные карлики, что обусловлено их магнитной активностью.

Радионаблюдения показали, что корональные арки и петли простираются на расстояния до нескольких радиусов звезды (до 2–4) и могут взаимодействовать с магнитным полем белого карлика. Т. е. радиокороны dM_e -звезд намного протяженнее, чем у Солнца и, кроме того, они более плотные и горячие — до 10^8 К (Бенц и др., 1998; Песталоцци

и др., 2000; Калли и др., 1995).

Собственная хромосферно-корональная активность является самым общим проявлением присутствия магнитных полей в холодных звездах. Предполагается, что магнитное поле в них генерируется динамо-процессом. Эмпирическим проявлением этого считается четко выраженная положительная корреляция между магнитными и угловыми моментами звезд (Аржди и др., 1995). Многочисленные исследования показали, что уровень активности холодных карликов не зависит ни от скорости их вращения, ни от светимости. Объясняется это тем, что связь между характеристиками активности и самим магнитным полем весьма опосредствована.

Измерение магнитных полей у красных карликов — очень трудная задача. Тем не менее поля до 3–5 кГс у них обнаружены (см., например, Джанс-Крал и Вейленти, 1996). Возможно, что у неактивных dM-карликов поля несколько меньше.

В работе Маллана и МакДональда (2001) рассмотрены модифицированные модели, учитывающие магнитные поля, чтобы выяснить их влияние на структуру маломассивных звезд. Показано, что магнитоактивные dM_e -звезды статистически отличаются от неактивных dM по своим глобальным свойствам. На диаграмме T_{eff} – R карлики dM_e и dM располагаются по-разному: при одинаковой T_{eff} и светимости dM_e имеют большие радиусы (в 2–3 раза) и более красный цвет.

Многие системы, приведенные в табл.1, обладают заметной, но небольшой собственной активностью. К сожалению, данных о них не хватает. На диаграмме T_{eff} – R M-карлики PCB располагаются между dM_e и dM, но в основном ближе к первым. О заметном влиянии магнитного поля на глобальные характеристики звезд говорят также результаты расчетов Кука и др. (2003).

Рэймонд и др. (2003) попытались сравнить активность красных карликов в PCB с активностью карликов поля. В качестве мерил активности использовалась величина L_x/L_{bol} . В результате получили, что доля активных карликов и величина активности в интервале M0–M4 как будто выше у PCB, чем среди звезд поля.

Хотя большинство вторичных компонентов PCB имеет спектральный класс M, встречаются и другие: A5V(V651 Mon), G5–8 IV–V, K0–5V. Об их собственной активности сведений нет, кроме хорошо изученной системы V471 Tau. Вторичный компонент в ней (K2V) демонстрирует сильную хромосферно-корональную активность: вспышки блеска, темные пятна, покрывающие до 25% поверхности, выбросы корональных масс до $\geq 2 \cdot 10^{-11} M_\odot/\text{год}$, ветер со скоростью, сравнимой и большей скорости убегания. Корональные петли

K-звезды, которые находятся между звездами, взаимодействуют с магнитным полем белого карлика (Калли и др., 1995). Кроме того, ее радиус больше радиуса звезд главной последовательности такого же спектрального класса, что типично для активных красных карликов (Рамзиер и др., 1995; Маллан и др., 1989; Бравейлер и Сион, 1986; Бонд и др., 2001).

Таким образом, вторичные компоненты PCB — карлики позднего спектрального класса. Для многих из них, а может быть, для всех, характерна сильная хромосферно-корональная активность. Это придает системам PCB большое своеобразие и разнообразие.

6. Сравнение PCB и CV

При сравнении характеристик этих систем, определяемых непосредственно из наблюдений (P , M_1 и M_2 , $q = \frac{M_1}{M_2}$, a), для большей выразительности использовались гистограммы, нормированные на свой максимум. Характеристики CV брались из каталогов Риттера (1990) и Черепашку и др. (1996). Далее период P измеряется в днях, массы компонентов M_1 и M_2 — в долях массы Солнца, расстояние между ними a — в радиусах Солнца.

Распределение периодов показано на рис.2. У CV это хорошо известное бимодальное распределение. Интересно, что у отдельных типов CV бимодальность не наблюдается. Она проявляется при объединении всех объектов. Пик коротких периодов ($P < 2^h$) создается звездами типа SU UMa и полярами, все остальные типы CV и немногие поляры дают пик длинных периодов ($P > 3^h$). В распределении периодов PCB бимодальность также заметна, хотя выражена не так четко, как у CV. Замечательно, что экстремумы обеих гистограмм находятся в противофазе: максимум одной совпадает с минимумом другой. Имеет ли эта антифазность физический смысл, сказать пока трудно. Но ясно, что бимодальность обусловлена эволюцией систем, возможно, отчасти свойствами прародителей.

Распределение масс компонентов, их отношения и общей массы системы показано на рис.3. Хотя интервал масс у обеих групп звезд примерно одинаков, хорошо видно, что PCB в среднем менее массивны, особенно вторичные компоненты. Очень хорошо это заметно при сравнении полных масс систем. В интервал от 0.4 до 1 попадает 76% PCB и 55% CV.

Распределение отношения масс $q = M_1/M_2$ у CV более крутое: в максимум распределения (от 1 до 2) попадает 42% CV и 30% PCB. В обеих группах звезд менее 10% систем (7–8%) имеют $q < 1$. Как правило, $M_1 > M_2$ и $q > 1$.

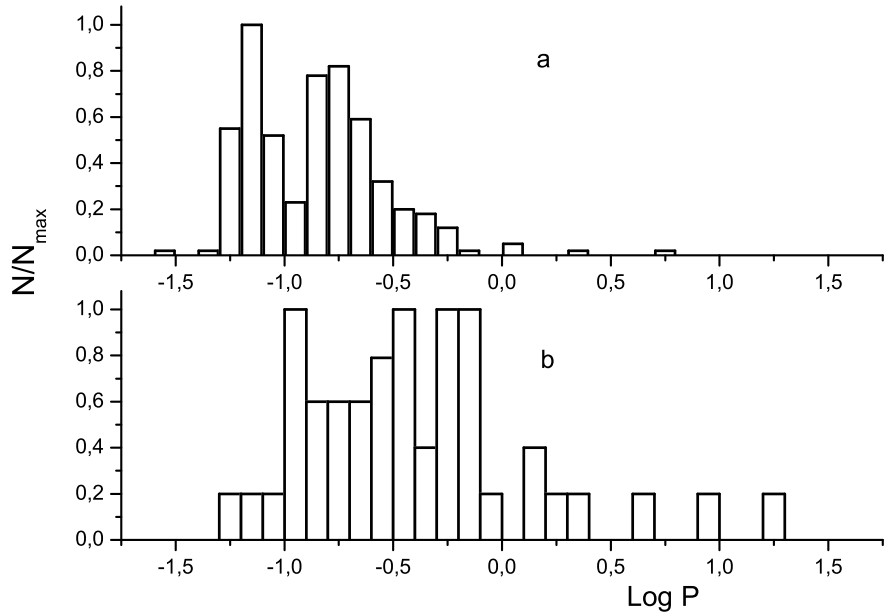


Рис. 2: Сравнение распределения орбитальных периодов CV (a) и PCB (b).

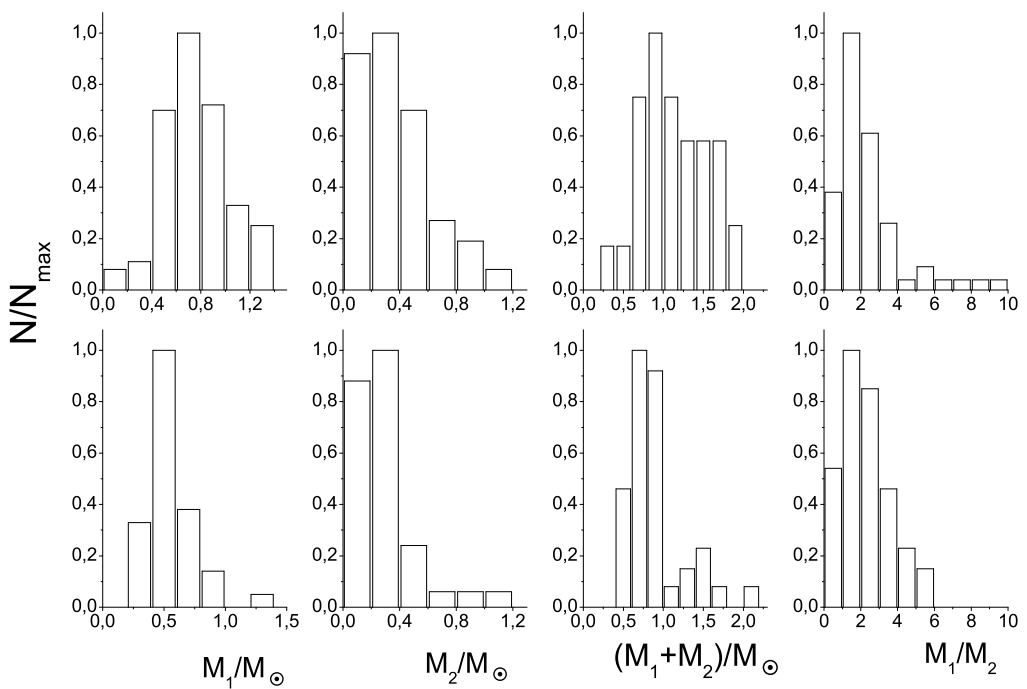


Рис. 3: Сравнение распределения масс компонентов, их отношения $q=M_1/M_2$ и полной массы системы CV (вверху) и PCB (внизу).

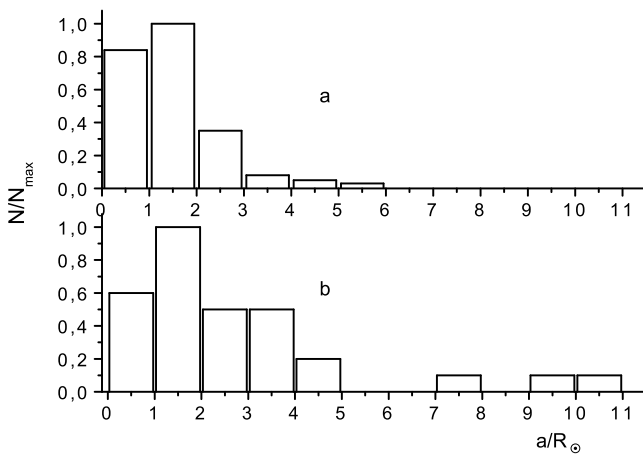


Рис. 4: Распределение расстояний между компонентами систем CV (a) и PCB (b).

Сравнение распределения расстояний между компонентами (рис.4) показало, что у CV оно в среднем меньше. Кроме того, в распределении PCB заметен длинный “хвост” в сторону больших расстояний. Значимой разницы между системами, окружеными планетарными туманностями, и без них, не наблюдается.

Таким образом, PCB в среднем представляют собой менее массивные и более широкие пары. Ни одна из характеристик обеих групп систем не показала бимодального распределения, аналогично распределению периодов.

Далее была сделана попытка найти соотношения между основными характеристиками CV и PCB и сравнить их между собой.

Соотношение между M_1 и M_2 у CV не обнаруживается ни для отдельных типов систем, ни при обобщении всех данных. На диаграмме $M_1 - M_2$ CV занимают область, ограниченную осью и прямой $M_2 = 1.52M_1 - 0.12$ (или $M_1 = 0.66M_2 + 0.08$). Это значит, что величина M_2 ограничена сверху, и это же дает предельное отношение масс. PCB попадают в ту же область диаграммы. Разницы в положении систем — центров планетарных туманностей и систем без туманностей — практически нет. В отличие от CV, для PCB как будто бы есть корреляция между M_1 и M_2 , которую можно записать как $M_2 = 0.9M_1 - 0.28$, но точек мало и разброс их велик.

Известно, что красные карлики малых масс (≤ 0.3) полностью конвективны. Оказалось, что относительное количество систем с $M_2 \leq 0.3$ среди PCB примерно в 4 раза больше, чем среди CV. У CV маломассивный вторичный компонент имеют

все системы, образующие пик коротких периодов.

Соотношения $P - M_1$ нет ни для CV, ни для PCB. На диаграмме $P - M_1$ CV занимают сектор, ограниченный осью абсцисс и прямой $P = 0.757M_1$ (или $M_1 = 1.32P$). Провал периодов никак не выделен.

Соотношение $P - M_2$ выражено четко у обоих типов систем. Для CV оно может быть описано прямой $M_2 = 2.53P - 0.02$ для $M_2 \geq 0.1$. Для $M_2 < 0.1 P = 0.05$ или 72 минуты, что близко к теоретическому пределу периодов для CV. Провал периодов заметен как почти полное отсутствие вторичных компонентов в интервале масс 0.24–0.29. Именно в этом интервале масс происходит переход от лучистых конфигураций к полностью конвективным. Можно отметить еще две области малого количества систем: $M_2 \simeq 0.45$ и 0.65 . Они приходятся на второй максимум в распределении периодов и, возможно, объясняются наблюдательной селекцией.

У PCB период очень быстро убывает с уменьшением M_2 . Для величины $M_2 < 1$ уменьшение можно описать как $P = 2.22M_2 - 0.02$. Но разброс точек гораздо больше, чем в случае CV. Разницы между системами, окруженными туманностями и без них, не наблюдается.

Таким образом, на величину периода влияет масса вторичного компонента и практически не влияет масса главного.

Соотношение $a - M_1$ заметно различается для CV и PCB. У первых a возрастает с увеличением M_1 и может быть описано как $a = 1.41M_1 + 0.3$. Создается впечатление, что для разных типов CV связь между a и M_1 несколько разная, но разброс точек слишком велик, чтобы можно было утверждать это уверенно. Тем не менее, для звезд типа SU UMa можно получить $a = 0.293M_1 + 0.527$, т. е. гораздо более пологую зависимость.

Возрастание a с M_1 , возможно, является следствием переноса массы: от менее массивного вторичного компонента к более массивному главному. Величина a , возможно, обусловлена особенностями эволюции в фазах СЕ.

У PCB никакой связи между a и M_1 нет.

Соотношение $a - M_2$ у CV очень четкое. Все типы CV образуют общую зависимость $a = 2.29M_2 + 0.35$. Исключение составляет GK Per (N Per 1901 г.). Возможно, аномалия связана со взрывом новой, во время которого могло возрасти расстояние между компонентами, а их массы могли уменьшиться.

В случае PCB можно уверенно сказать, что a растет с увеличением M_2 . Однако разброс точек так велик, что о функциональной зависимости можно осторожно говорить только в случае малых

масс $M_2 \leq 0.4$

$$a = 11.36M_2 - 0.23.$$

Соотношение a -Р. Для обоих типов систем Р уменьшается с уменьшением a . В случае СВ изменение Р можно описать как $P=0.127a$. У РСВ при больших a величина Р очень быстро убывает, по-видимому, по нелинейному закону. При $a < 8$ уменьшение Р замедляется и для $1 < a < 5$ изменение может быть описано как $P=0.245a - 0.095$. Интересно, что при $a \leq 1$ кривая выходит на асимптоту 0^d1 , т.е. 2.4 часа. Это область провала периодов.

Итак, соотношения между характеристиками систем обоих типов при некотором их различии в целом похожи. Исключение составляет соотношение между a и M_1 . У РСВ между этими величинами связи нет, у СВ величина a растет с увеличением M_1 . Вероятнее всего, что это изменение обусловлено длительным процессом акреции, который идет в СВ и отсутствует у РСВ.

На рис.5 показано распределение полных моментов вращения μ у РСВ, систем типа SU UMa и U Gem. Чтобы числа, указанные на оси абсцисс, перевести в единицы MKS [$\text{г}\cdot\text{см}^2/\text{с}$], их надо умножить на $7 \cdot 10^{50}$. Видно, что системы типа U Gem имеют в среднем большие моменты, чем два других типа. Системы, окруженные планетарными туманностями, не отличаются от прочих РСВ. На рис.6 показано распределение собственного момента вращения компонентов в процентах от полного момента системы. Как и в предыдущем случае (рис.5), компоненты систем типа U Gem обладают большим моментом, чем компоненты РСВ и систем типа SU UMa. Но во всех случаях основная часть момента вращения заключена в орбитальном движении: $\mu_{orb} \gg \mu_1 + \mu_2$.

При вычислении величин μ вращение компонентов считалось синхронным с орбитальным. Для РСВ это утверждение не очевидно. К сожалению, данных о скоростях вращения компонент РСВ в литературе очень мало. На рис.7 сопоставлены периоды осевого вращения вторичных компонентов P_2 и орбитального периода P с величиной массы вторичного компонента. Видно, что $P \geq P_2$. С уменьшением величины M_2 разница между ними уменьшается и при $M_2 \leq 0.3$ наступает синхронизм. Такое изменение P_2 хорошо понятно в рамках представлений о торможении в СЕ. Данных о вращении главных компонентов еще меньше, но похоже, что тенденция такая же: с уменьшением P разница между P_1 и P_2 уменьшается до синхронизации вращения.

Из высказывания ясно, что ни одна из характеристик РСВ, наблюденная или вычислена, не

отличается существенно от соответствующей характеристики СВ. Ни одна из характеристик не обнаружила бимодального распределения, подобного распределению периодов. Значит, причину разницы между системами надо искать в их эволюции.

Расчеты моделей двойных систем показывают, что при очень больших расстояниях a между компонентами система устойчива. По мере их сближения устойчивость сохраняется, пока величина μ убывает. Когда при продолжающемся сближении компонент μ начинает возрастать, конфигурация становится неустойчивой. Если отношение M_1/M_2 велико, то при сближении компонент меняется будет в основном скорость вращения вторичного компонента. Минимальная величина момента μ_{min} будет достигнута при максимальной скорости вращения. Это условие позволяет оценить предельное расстояние l_0 , при котором система остается еще устойчивой:

$$l_0 = 2.4554 \left(\frac{\rho_1}{\rho_2} \right)^{1/3} R_2, \quad (*)$$

где ρ — плотность компонентов.

Если $a < l_0$, система становится неустойчивой. Во всех случаях, когда соотношение (*) можно было применить к системам СВ, условие $a < l_0$ выполнялось. В случае, когда величины M_1 и M_2 одного порядка, вычисление момента затруднено тем, что радиусы компонент будут изменяться со скоростью вращения. Однако основная (орбитальная) часть момента будет $\sim \sqrt{a}$. И в этом случае также должно существовать некоторое расстояние, аналогичное пределу Роша. При $a < l_0$ никаких равновесных устойчивых конфигураций существовать не будет. Вычисления показали, что состояние " μ_{min} " наступает до контакта фигур, т. е. до момента наибольшего возможного сближения. Поэтому контактные конфигурации моделей Роша будут неустойчивы. Сравнение величин a с вычисленным пределом устойчивости (Крат, 1950) показало, что всегда для СВ $a < l_0$, для РСВ $a > l_0$. В справочнике Черепашку и др. (1996) приведены радиусы Роша R_0 для вторичных компонентов РСВ. Во всех случаях $R_0 < a$ в несколько раз. Таким образом, РСВ можно считать системами, которые сохранили устойчивость в процессе эволюции, в то время как СВ перешли предел устойчивости.

В разделе 4 отмечалось, что большинство главных компонентов РСВ после ухода с ветви красных гигантов, по-видимому, становятся экстремальными объектами НВ. Их дальнейшая эволюция проходит по пути "танде" или Р-EAGB (уход с AGB раньше). В то время как будущие СВ доходят до верха АGB, где повторно проходят стадию

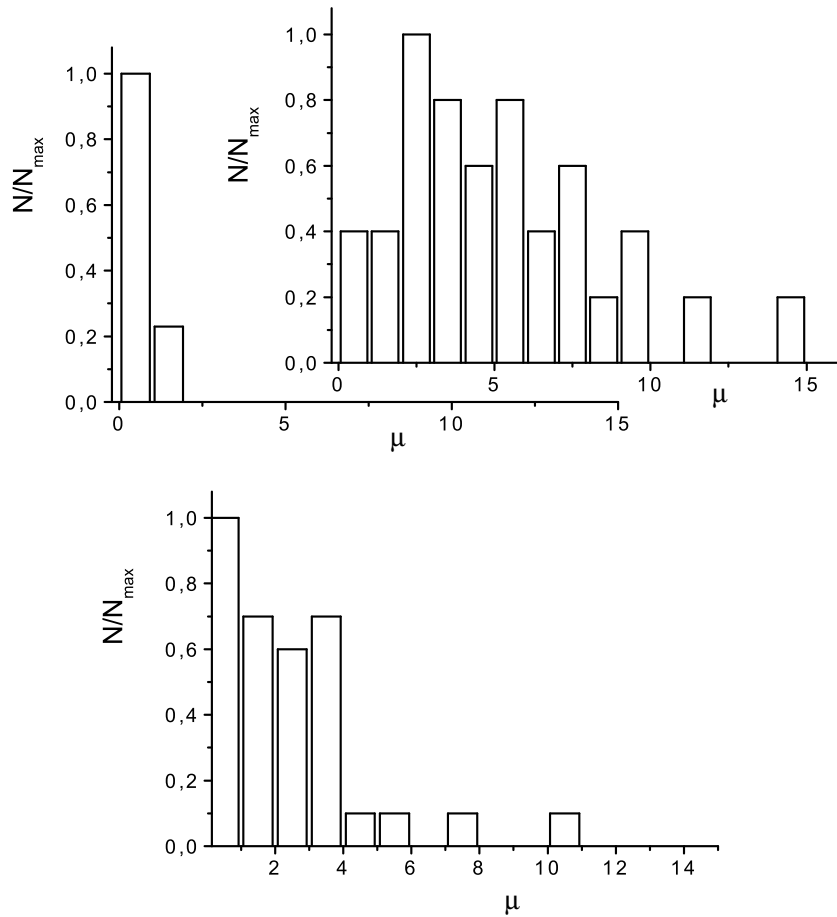


Рис. 5: Распределение полных моментов вращения систем типа SU UMa (слева вверху), U Gem (справа вверху), PCB (внизу).

СЕ, в результате которой, по-видимому, переходят предел устойчивости. В пользу этого утверждения можно указать на малые массы главных компонентов PCB, большинство из которых — гелиевые белые карлики.

Среди PCB особняком стоят три системы: V664 Cas, BE UMa и VW Рух. Все они — центры слабых планетарных туманностей и имеют большие орбитальные периоды ($P > 0^{\text{d}}.5$). Температуры их главных компонентов очень высоки, поэтому изменение блеска, обусловленное эффектом отражения, велико — более 1^m . Спектры отличаются рядом особенностей.

V664 Cas — центральная звезда туманности HFG1. Интересно, что туманность не видна в линиях H_{α} и $\lambda 6584 \text{ \AA} [\text{NII}]$, но яркая в $\lambda 5007 \text{ \AA} [\text{OIII}]$. В спектре звезды очень сильны эмиссионные линии СIII и NIII, а линии HeI и HeII слабы. Дру-

гой интересной особенностью является инверсный бальмеровский декремент, что характерно для CV (Аkker, Стенхолм, 1990). Такая форма декремента указывает на то, что водородные линии формируются в плотных слоях атмосферы вторичного компонента. И, наконец, еще одна особенность — водородные линии раздвоены (Шиманский и др., 2004). Раздвоение соответствует скорости $300\text{--}340 \text{ км/с}$ и не меняется в течение орбитального периода. Оно примерно в 2–3 раза меньше раздвоения линий в аккреционных дисках CV. Наклон системы $\approx 30^\circ$, что, возможно, уменьшает наблюдаемую величину раздвоения водородных линий. Наблюдения Экстер и др. (2005) показали, что абсорбция в центре водородных линий меняется по глубине и положению в течение орбитального периода.

BE UMa — центральная звезда туманности Twed 1. Туманность видна в линиях H_{α} и $\lambda 5007 \text{ \AA} [\text{OIII}]$.

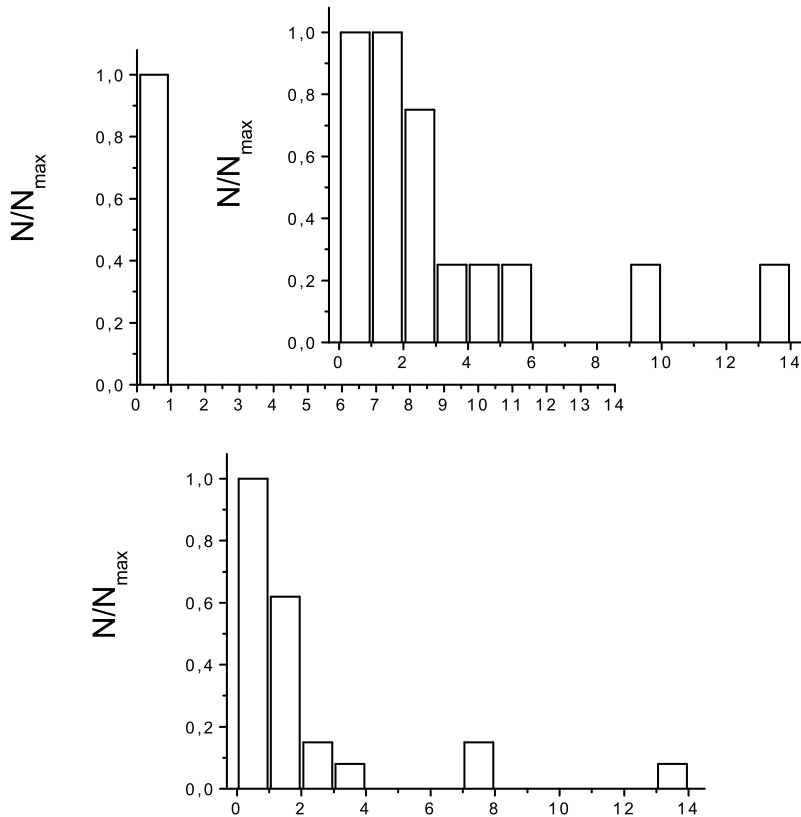


Рис. 6: Распределение собственного момента вращения компонент $\mu_1 + \mu_2$ в процентах от полного момента системы μ : вверху SU UMa (слева), U Gem (справа), внизу PCB.

$\text{\AA}[\text{OIII}]$, а в $\lambda 6584 \text{\AA}[\text{NII}]$ не видна. В спектре самой звезды континуум быстро растет в коротковолновую сторону. Линейчатый спектр представлен многочисленными линиями высокого возбуждения. Их интенсивность сильно меняется в течение орбитального периода вплоть до исчезновения сразу после затмения. Водородные эмиссии раздвоены. Величина раздвоения 140 км/с и не меняется с фазой периода (Кремптон и др., 1983). Так как наклон системы $\approx 80^\circ$, то величина раздвоения не может быть существенно уменьшена за счет эффектов проекции. То обстоятельство, что эмиссии видны очень близко к фазе затмения, указывает, что область их формирования как-то возвышается над краем вторичного компонента.

VW Рух — центральная звезда планетарной туманности K1-2. Спектр системы изучен мало. В нем много эмиссионных линий H, HeI и II, элементов C, N, O во II и III стадиях ионизации. Линии водорода широки и раздвоены. Их большая полуширина $\approx 680 \text{ km/s}$ указывает на

возможность штарковского уширения. Раздвоение $\approx 200 \text{ km/s}$ при наклоне системы $\approx 40^\circ$ (Экстер и др., 2003). Особый интерес вызывают джетоподобные структуры, расположенные по обе стороны от центральной звезды. Корради и др. (1999) показали, что джеты состоят из отдельных узлов, которые движутся со скоростью расширения туманности. Но некоторые узлы в северо-западной области движутся со скоростью примерно в два раза большей. Механизм возникновения джетоподобной структуры пока не ясен.

Итак, все три системы характеризуются очень высокой температурой главного компонента $T_{eff} \geq 10^5 K$ и, как следствие, большой амплитудой эффекта отражения, а также большой шириной и раздвоенностью водородных линий. Их вторичные компоненты имеют радиусы большие, чем звезды Главной последовательности той же массы. Как видно из рис.8, радиусы вторичных компонентов PCB в среднем больше радиусов звезд ГП, но особенно велика разница

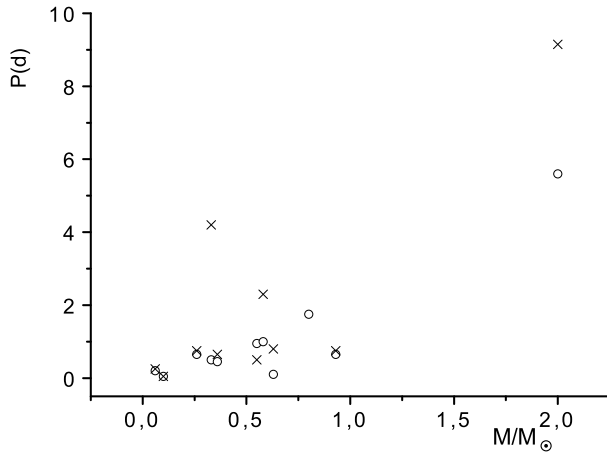


Рис. 7: Изменение периодов вращения: орбитального P_{orb} (крестики) и вторичного компонента P_2 (точки) с изменением массы вторичного компонента.

у центральных звезд планетарных туманностей. Это обусловлено тем, что при акреции вещества во время фазы СЕ звезда выходит из состояния теплового равновесия, так как акрецируемое вещество имеет большую энтропию, чем поверхностные слои звезды.

Описанные системы интересно сравнить с необычной катализмической переменной BZ Cam, которая относится к типу новоподобных. Эта система также окружена небольшой туманностью и ее главный компонент имеет очень высокую температуру ($> 10^5$). Экстремумы кривых лучевых скоростей и блеска не совпадают (Петерсон и др., 1996). Однако на этом сходство заканчивается. Орбитальный период BZ Cam небольшой, $\simeq 0^d154$. Орбитальная кривая блеска переменна, ее средняя амплитуда всего 0^m003 , а средний блеск меняется от ночи к ночи в пределах 0^m3 . У системы наблюдается высокое ($V \sim 12^m5$) и низкое ($V \sim 14^m$) состояние, что характерно для новоподобных. Кроме основного периода, определенного по лучевым скоростям, изменения блеска характеризуются еще несколькими периодами, которые приписываются сверхгорбам. Все это совсем не похоже на PCB, в изменении блеска которых главную роль играет эффект отражения. Кроме того, на кривых блеска BZ Cam наблюдается сильный фликкеринг, чего нет у PCB.

Линейчатый спектр BZ Cam сильно меняется с изменением блеска, но четких изменений в течение орбитального периода не наблюдается. Раздвоенности водородных линий не отмечено. При

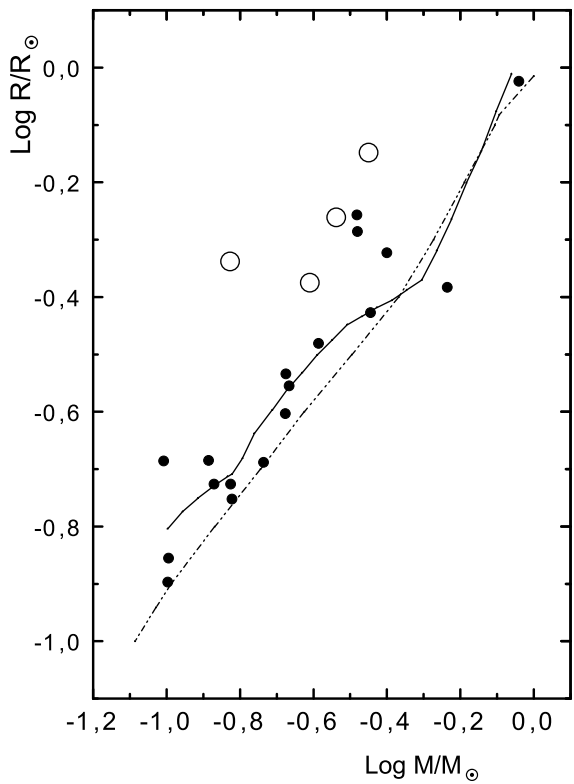


Рис. 8: Диаграмма M – R для вторичных компонентов PCB. Кружками отмечены центры планетарных туманностей. Штрих-пунктирная линия — модель (Бараф, Чабриер, 1996), сплошная линия — эмпирическое соотношение (Рид и Гизис, 1997).

возрастании блеска линии становятся асимметричными, эмиссия ослабевает и появляются профили типа Р Сyg. Особенно сильно это проявляется в ультрафиолетовом участке спектра. Холлиз и др. (1992) оценили скорость потери массы системой, $\dot{M} \simeq 1.4 \cdot 10^{-11} M_{\odot}/\text{год}$, а массу туманности как $\sim 2.4 \cdot 10^{-3} M_{\odot}$, что примерно в 100 раз меньше средней массы планетарной туманности. С этими двумя величинами можно оценить возраст туманности $\sim 10^8$ лет. Такой большой возраст не согласуется с высокой температурой главного компонента и высокой активностью системы. Скорее всего BZ Cam образовалась сразу как катализмическая переменная, а туманность — остаток общей оболочки, значительную часть которой она потеряла при движении со сверхзвуковой скоростью сквозь межзвездную среду.

По-видимому, нынешние катализмические переменные после фазы СЕ сразу стали полураз-

деленными. Оценки времени эволюции при учете разных механизмов потери углового момента показывают, что часть нынешних РСВ станет CV, но очень не скоро. А большинство не успеет стать ими за время существования нашей Галактики.

7. Заключение

Рассмотрены характеристики РСВ и свойства составляющих их компонентов. Они оказались во многом схожими с характеристиками CV. Это позволило сделать вывод, что основное различие между этими двумя типами систем (акреция или ее отсутствие) обусловлено процессом эволюции и свойствами прародителей.

Большинство главных компонентов РСВ после фазы СЕ на стадии красного гиганта становятся экстремальными объектами НВ и уходят на линию охлаждения либо минуя AGB, либо не доходя до ее верха. По-видимому, главные компоненты представляют собой довольно однородную группу объектов на разной стадии эволюции. Это объясняет разницу их свойств.

Вторичные компоненты РСВ — карлики позднего спектрального класса. Большинство из них, а может быть все, характеризуются сильной коронально-хромосферной активностью. Это указывает на существование значительных поверхностных магнитных полей, которые влияют на свойства систем.

Распределение наблюденных и вычисленных характеристик и попытка найти соотношение между ними подтвердили вывод об эволюционном различии между РСВ и CV. Оказалось, что распределение периодов у РСВ бимодальное, хотя это выражено не так четко, как у CV. Замечательно, что экстремумы обеих гистограмм находятся в противофазе: максимум одной совпадает с минимумом другой. Провал периодов у CV заметен как почти полное отсутствие вторичных компонентов с массами 0.24–0.29. Именно в этом интервале масс происходит переход от лучистых конфигураций к полностью конвективным.

Различны соотношения $a - M_1$. У CV a возрастает с ростом M_1 . Это, вероятно, следствие переноса массы в системе: от менее массивного вторичного компонента к более массивному главному. У РСВ связи между этими величинами нет, так как нет переноса массы.

Сравнение расстояний a между компонентами с пределом устойчивости показало, что в процессе эволюции CV перешли этот предел, а РСВ устойчивость сохранили. Нынешние CV стали полуразделенными сразу после фазы СЕ. Большинство нынешних РСВ, по-видимому, не успеет стать CV за время существования нашей Галактики.

Список литературы

- Аkker, Стенхолм (Acker A., Stenholm B.), 1990, A&A, **233**, L21
 Аkker, Ясниевич (Acker A., Jasniewic G.), 1986, A&A, **160**, L1
 Арджи и др. (Arge C.N., Mullan D.J., Dolginov A.Z.), 1995, ApJ, **443**, 795
 Бараф и Чабриер (Baraffe I., Chabrier G.), 1996, ApJ, **461**, L51
 Барстоу и др. (Barstow M.A., Good S.A., Holberg J.B. et al.), 2003, MNRAS, **341**, 870
 Баско М.М., Суняев Р.А., 1973, Препринт ИПМ N8
 Баско и др. (Basko M.M., Sunyaev R.A., Titarchuk L.G.), 1974, A&A, **31**, 249
 Бенц и др. (Benz A.O., Conway J., Güdel M.), 1998, A&A, **331**, 596
 Берджерон и др. (Bergeron P., Saffer R.A., Liebert J.), 1992, ApJ, **394**, 228
 Берджерон и др. (Bergeron P., Wesemael F., Beauchamp A., Wood M.A., Lamontagne R., Fontaine G., Liebert J.), 1994, ApJ, **432**, 305
 Берли и др. (Burleigh M.R., Barstow M.A., Dobbie P.D.), 1997, A&A, **317**, L21
 Биверс и др. (Beavers W.I., Oesper D.A., Pierree J.N.), 1979, ApJ, **230**, L187
 Блич и др. (Bleach J.N., Wood J.H., Catalan M.C., Welsh W.F., Robinson E.L., Skidmore W.), 2000, MNRAS, **312**, 70
 Блич и др. (Bleach J.N., Wood J.H., Smalley B., Catalan M.C.), 2002, MNRAS, **335**, 593
 Бонд, Ливио (Bond H.E., Livio M.), 1990, ApJ, **355**, 568
 Бонд (Bond H.E.), 1999, preprint STSI N1386
 Бонд и др. (Bond H.E., Mullan D.J., O'Brein M.S., Sion E.M.), 2001, ApJ, **560**, 919
 Бравайлер, Сион (Bruhweiler F.S., Sion E.M.), 1986, ApJ, **304**, L21
 Веннес и др. (Vennes S., Pelletier C., Fontaine G., Wesemael F.), 1988, ApJ, **331**, 876
 Веннес и др. (Vennes S., Chayer P., Thorstensen J.R., Bowyer S., Shipman H.L.), 1992, ApJ, **392**, L27
 Веннес, Торстенсен (Vennes S., Thorstensen J.R.), 1994, AJ, **108**, 1881
 Веннес и др. (Vennes S., Polomski E.F., Lanz T., Thorstensen J.R., Chayer P., Gull T.R.), 2000, ApJ, **544**, 423
 Войханская Н.Ф., 2002, Бюлл. Спец. астрофиз. обсерв., **53**, 25
 Джанз-Кралл и Вейленти (Jons-Krull C.M., Valenti J.A.), 1996, ApJ, **459**, L95
 Добби и др. (Dobbie P.D., Burstow M.A., Burleigh M.R., Hubeny I.), 1999, A&A, **346**, 163
 Дорман и др. (Dorman B., Rood R.T., O'Connal R.W.), 1993, ApJ, **419**, 596
 Дьюпуис и др. (Dupuis J., Vennes S., Bowyer S.), 1997, in: White Dwarfs, eds.: Isern J., Hernanz M., Garcia-Berro E., Kliwer acad. publ.
 Дюпре, Раймонд (Dupree A.K., Raymond J.S.), 1982, ApJ, **263**, L63
 Ибаноглу и др. (İbanoglu C., Keskin V., Akan M.C., Evren S., Tunca Z.), 1994, A&A, **281**, 811

- Ибен, Тутуков (Iben I., Tutukov A.V.), 1993, *ApJ*, **418**, 343
- Калли и др. (Cully S.L., Dupuis J., Rodriguez-Bell T. et al.), 1995, *Astrophysics in the Extreme Ultraviolet*, eds.: S.Bowyer, R.F.Malina, Cluwer Acad. Publ., 349
- Кафка и др. (Kawka A., Vennes S., Koch R., Williams A.), 2002, *AJ*, **124**, 2853
- Килкени и др. (Kilkenny D., O'donoghue D., Koen C., Lyanas-Gray A.E., van Wuk F.), 1998, *MNRAS*, **296**, 329
- Корради и др. (Corradi R.L.M., Perinotto M., Villaver E., Mampaso A., Goncalves D.R.), 1999, *ApJ*, **523**, 721
- Крат В.А., 1950, *Фигуры равновесия небесных тел*, изд. тех.-теор. лит-ры, М.-Л.
- Кремптон и др. (Crampton D., Cowley A.P., Hutchings J.B.), 1983, *ApJ*, **272**, 202
- Кук и др. (Cook J.N., Shapiro S.L., Stephens B.S.), 2003, *ApJ*, **599**, 1272
- Лейн и др. (Lane B.F., Boden A.F., Kulkarni S.R.), 2001, *ApJ*, **551**, L81
- Либерт и др. (Liebert J., Tweedy R.W., Napiwotzki R., Fulbright M.C.), 1995, *ApJ*, **441**, 424
- Лим и др. (Lim J., White S.M., Cully S.L.), 1996, *ApJ*, **461**, 1009
- Маллан и др. (Mullan D.J., Sion E.M., Bruhweiler F.S., Carpenter K.G.), 1989, *ApJ*, **399**, L33
- Маллан, МакДональд (Mullan D.J., MacDonald J.), 2001, *ApJ*, **559**, 353
- Макстед и др. (Maxted P.F.L., Heber U., Marsh T.R., North R.C.), 2001, *MNRAS*, **326**, 1391
- Макстед и др. (Maxted P.F.L., Marsh T.R., Morales-Rueda L. et al.), 2004, *MNRAS*, **355**, 1143
- Песталозци и др. (Pestalozzi M.R., Benz A.O., Conway J.E., Grudel M.), 2000, *A&A*, **353**, 569
- Петерсон и др. (Patterson J., Caillault J.-P., Skillman D.P.), 1993, *PASP*, **105**, 848
- Петерсон и др. (Patterson J., Patino R., Thorstensen J.R. et al.), 1996, *AJ*, **111**, 2422
- Рамзайер и др. (Ramseyer T.F., Hatzes P., Jablonski F.), 1995, *AJ*, **110**, 1364
- Рид и Гизис (Reid I.N., Gizis J.E.), 1997, *AJ*, **113**, 2246
- Риттер (Ritter H.), 1986, *A&A*, **169**, 139
- Риттер (Ritter H.), 1990, *ApJS*, **85**, 1179
- Рэймонд и др. (Raymond S.N., Szkody P., Hawley S. et al.), 2003, *AJ*, **125**, 2621
- Сахибуллин Н.А., Шиманский В.В., 1997, *Астрон. журн.*, **74**, 432
- Сион и др. (Sion E.M., Schaefer K.G., Bond H.E., Saffer R.A., Cheng F.H.), 1998, *ApJ*, **496**, L29
- Торстенсен и др. (Thorstensen J.R., Vennes S., Shambrook A.), 1994, *AJ*, **108**, 1924
- Торстенсен и др. (Thorstensen J.R., Vennes S., Bowyer S.), 1996, *ApJ*, **457**, 390
- Уэсемейл и др. (Wesemael F., Henry R.B.S., Shpman H.L.), 1984, *ApJ*, **287**, 868
- Файбелман, Бравейлер (Fiebelman W.A., Bruhweiler F.G.), 1990, *ApJ*, **357**, 548
- Хейман и др. (Hamann W.-R., Gruschinske J., Kudritzki R.P., Simon K.P.), 1981, *A&A*, **104**, 249
- Хералд и Бианши (Herald J.E., Bianshi L.), 2002, *ApJ*, **580**, 434
- Холлиз и др. (Hollis J.M., Oliverson R.J., Wagner R.M., Feibelman W.A.), 1992, *ApJ*, **393**, 217
- Черепашук и др. (Cherepashchuk A.M., Katysheva N.A., Khruzina T.S., Shugarov S.U.), 1996, *Advances in Astronomy and Astrophysics*, Gordon and Breach Publ.
- Шиманский В.В., 2002, *Астрон. журн.*, **79**, 145
- Шиманский В.В., Борисов Н.В., Сахибуллин Н.А., Сурков А.Е., 2004, *Астрон. журн.*, **81**, 620
- Шугаров С.Ю., 1984, *IBVS*, N2612
- Экстер и др. (Exter K.M., Pollacco D.L., Bell S.A.), 2003, *MNRAS*, **341**, 1349
- Экстер и др. (Exter K.M., Pollacco D.L., Maxted P.F.L., Napiwotzki R., Bell S.A.), 2005, *MNRAS*, **359**, 315
- Янт и др. (Young A., Rottler L., Skumanich A.), 1991, *ApJ*, **378**, L25

Таблица 1: Некоторые характеристики предкатализмических переменных

N п/п	Название	Пр. названия	Координаты(2000.0) α δ	Спектры компонентов	P(d)	T_1	T_2	$\frac{M_1}{M_\odot}$	$\frac{M_2}{M_\odot}$	$\frac{R_1}{R_\odot}$	$\frac{R_2}{R_\odot}$	$\lg g$	$\frac{a}{R_\odot}$	
1	V651 Mon	HD293373 BD-3°5357 WD 0232+035, EG20	07 ^h 09 ^m 22 ^s .4 -00°48'24"	sdOB+A5V sdOB+G8III DA+M2V	15.991 9.207755 4.2316	100000 35000 55000	8000 4700 3800	0.40 0.5 0.5	1.8 2.0 0.33	0.019 0.107 0.022	2.2 6.1 0.51	6 7.5	3.9 25 10.3	
2	FF Agr													
3	F24													
4	BE UMa	PG 1155+492	11 57 44.7 11 17 03.5	48 56 19 18 25 58	sdO+K5V DA+	2.2911667 1.75992	105000	5800	0.7	0.36	0.078	1.48	7.5	8
5	PG 1114+187	Leo 2	06 48 04.8	-44 18 59	sdO+(KO-F4)V	1.547671								
6	HD 46798		07 20 47.5	-31 47 03	DAO+M3V	1.26245								
7	RE 0720-318	INCMa	11 39 0.60	66 30 18	DAO+K7V	0.83605								
8	HS 1136+6646		10 16 28.7	-05 20 34	DAO+M2V	0.78929								
9	RE 1016-0.53	EUV E 2013+400	20 13 09.2	40 02 25	DAO+M3V	0.705523								
10	RE 2013+400		08 57 45.8	-28 57 36	sdO+	0.6758								
11	VW Pyx	Case 1, EG UMa	12 15 44.3	52 31 03	DA+M4V	0.6675779								
12	WD 1213+528		10 28 34.6	-00 00 27	DA+M4V	0.597258								
13	PG 1026+002		03 03 47.1	64 54 36	sdO+(K-M)	0.581647								
14	V 664 Cas	HZ 22 EG 38	12 14 48.4	36 38 49	sdB+wd	0.573704								
15	UX CVn		04 32 23.2	17 45 05	DA2+dM4.5	0.56433								
16	HZ 9	BD+16°516	03 50 02.4	17 14 48	DA+K2V	0.5211831								
17	V 471 Tau		21 30 18.6	47 10 08	DA+M4V _e	0.521035625								
18	RX 2130.6+4710		18 31 18.5	26 56 11	sdO+	0.47172909								
19	V 477 Lyr		19 42 10.2	17 05 15	sdO+G7V	0.465069102								
20	UU Sge		10 54 41	-48 46 54	sdO+	0.35711296								
21	KV Vel	LSS 2018	12 55 33.8	25 53 30	sdO+G5III-IV	0.35:(1.7545)	>100000	5000	1.4:	0.1				
22	IN Com	BD+26°2405, HD 112313 PG 1413+015	14 15 36.4 10 44 10.8	01 17 18 -69 18 22	DAO+M5V DA+dM	0.3443308 0.33678	48800 20600	3100 0.5	0.51 0.16	0.016	0.14	7.70	1.8	
23	GK Vir		12 00 05.7	-19°02'05	sdO+M5V	0.32762	68000	3000	0.68	0.21	0.04	0.29	7.0	2
24	BPM 6502	LET 349, BPM 31582	04 21 01	-48 39 04	DA+M6V	0.3037004	7000	2600	0.467	0.095	0.016	0.167	7.57	1.42
25	ES 11575-1845	TW Crv	03 10 55.0	09 49 27	DA+M4.5V	0.284309								
26	RR Cae		21 57 16.6	41 02 45	DA+k/k	0.26772								
27	PG 0308+096		05 31 40.6	-69 53 07	sdO+	0.2615397								
28	WD 2154+408	HDE 269696, LB 3459												
29	AA Dor													
30	LM Com	PG 1224+309	12 26 39.4	30 38 57	DA+M4V	0.258687	29300	3600	0.40	0.23	0.02:	0.02	7.38	1.43

Таблица 1: Некоторые характеристики предкатаклизмических переменных (окончание)

N п/п	Название	Др. название	Координаты(2000.0) α δ	Спектры компонентов	P(d)	T_1	T_2	$\frac{M_1}{M_\odot}$	$\frac{M_2}{M_\odot}$	$\frac{R_1}{R_\odot}$	$\frac{R_2}{R_\odot}$	$\lg g$	$\frac{a}{R_\odot}$
31	BD+50°2869	HD 186924	19 44 48.2 03 32 43.4 05 27 28.3 22 58 47.4	50 24 11 -08 55 40 -12 41 49 25 15 47	$O6_f$ DA+M2.5V $O7_f$ DA2+M4V	0.23768 0.20162 ~0.2: 0.173661	35000 17200 33200 22170	0.77 0.48 0.48 0.22	0.4 0.015 0.015 0.27	0.49 0.27 0.27 7.77	8.25 1.5 7.77 1.17		
32	BPM 71214												
33	BD-12°1172	HD 35914											
34	CD 245	MS Peg, WD 2256+249											
35	HS 2333+3927		23 35 54.7 11 29 09.5 13 49 52.0 15 52 56.1 22 37 15.8 12 44 20.2	39 44 26 66 37 04 -13 13 38 12 54 44 82 10 28 -08 40 15	sdB+M4 wd+dM DA+M3V7 DAO1+M4.75V DA+M3.5V sdB+M	0.1718023 0.17083 0.15074 0.1300801195 0.12368 0.11671962	36500 14100 14100 57000 11500 31000	0.38 0.6 0.77 0.54 0.57 0.37	0.28 0.2 0.58 0.15 0.3 0.13	0.42 0.174 0.174 0.19 0.2 0.2	8.25 7.6 7.6 8.0 5.64 5.64	5.7	1.32
36	SDSS J112909.50+ +663704.4												
37	EC 13471-1258												
38	NN Ser	PG 1550+131											
39	HS 2237+8154												
40	BD-7°3477	HW Vir, PG 1241-084											
41	MT Ser												
42	GD 448	WD 0710+741	17 29 01.9 07 17 12.7 13 38 47.8 07 05 00.0 10 20 14.5	-15 13 04 74 00 55 -02 01 51 67 00 00 -08 53 46	sdO+MV DA+M6V sdB+M5V sdB+MV sdB+k/k	0.11132269 0.103064 0.1010174 0.09564665 0.0729938	50000 19000 33000 29600 30300	0.6 0.4 0.5 0.48 0.5	0.2 0.1 0.15 0.13 0.07	0.13 0.018 0.18 0.19 0.19	6.00 0.125 0.19 0.230 0.186	0.9 7.45 5.7 5.7 5.61	
43	PG 1336-018												
44	HS 0705+6700												
45	PG 1017-086												
46	BD+66°1066	HD 164963											
47	BD-22°3467	LW Hyu	12 53 32.9 16 29 11.1 10 36 25.7	-22 52 22 78 04 41 46 08 36	DAO+G8IV DA1+M4V DA4+KV	0.7653: 41000	80000 41000	0.5 0.65	0.8 0.21	0.017 0.015	2.63 0.25	7.7 7.73	
48	RE 1629+780												
49	GD 123	WD 1033+464, PG 1033+464											
50	WD 0752-146	LT T 2980	07 55 39.5 07 55 39.5	-14 45 42									

Примечания:

Ниже черты приведены кандидаты в РСВ.

Жирным шрифтом выделены центральные звезды планетарных туманностей.